

## Ajustamento de Redes

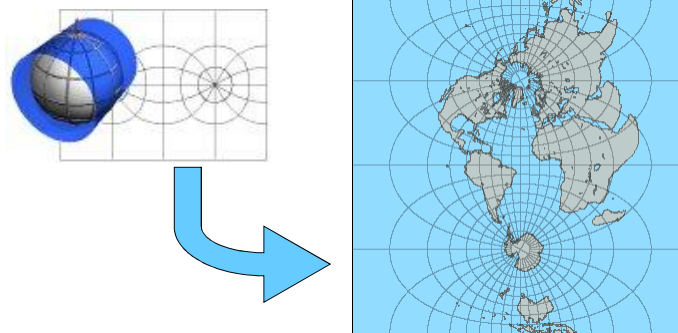
### 5.1 Equações de observação sobre o Plano Cartográfico

- a) O ajustamento sobre o plano cartográfico é aplicado a observações definidas no respectivo sistema de referência;
- b) São aplicadas correcções de redução às observações, previamente, reduzidas ao elipsóide;
- c) Sobre as **direcções azimutais** temos: correcção **tangente-corda**;
- d) Sobre os **azimutes** temos: correcção **tangente-corda** e **convergência de meridianos**;
- e) Sobre as **distâncias** temos: redução do **factor de escala**;
- f) A vantagem de se recorrer ao plano cartográfico decorre da simplicidade da geometria e do seu formalismo matemático.

## Ajustamento de Redes

### 5.1.1 Projecção Cartográfica

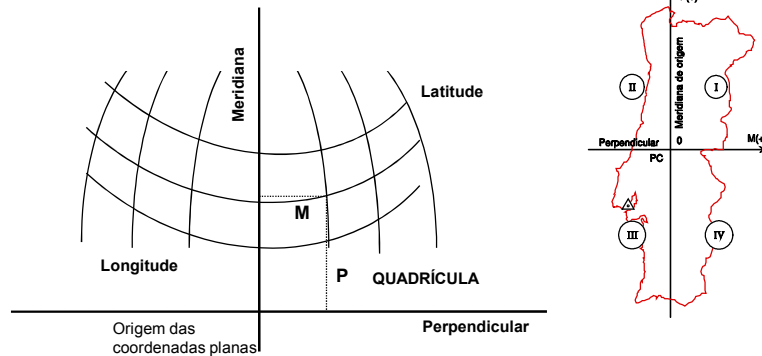
- a) Projecção de Mercator Transversa, Gauss ou Gauss-Krüger



# Ajustamento de Redes

## 5.1.1 Projecção Cartográfica

### b) Sistema de coordenadas cartográficas



Geodesia & Aplicações – Aula 5

FCUL-EG

# Ajustamento de Redes

## 5.1.1 Projecção Cartográfica

### c) Sistemas de Projecção Cartográfica Nacionais

#### Hayford-Gauss

Datum geodésico Hayford-Lisboa = Datum Lisboa

Projecção de Gauss-Kruger (versão elipsoidal da Projecção de Mercator

Transversa) com origem no (meridiano do) Ponto Central ( $\varphi=39^{\circ} 40'$ ;  $\lambda=-8^{\circ} 7' 54.862''$ )

Origem das coordenadas planas: Ponto Central ( $\Delta M= 0$  ;  $\Delta P= 0$ )

#### Hayford-Gauss Militar

Datum geodésico Hayford-Lisboa = Datum Lisboa

Projecção de Gauss-Kruger (versão elipsoidal da Projecção de Mercator

Transversa) com origem no (meridiano do) Ponto Central ( $\varphi=39^{\circ} 40'$ ;  $\lambda=-8^{\circ} 7' 54.862''$ )

Origem das coordenadas planas: 'Ponto Fictício' resultante da translacção de 200 km E-W e 300 km N-S (para as coordenadas serem sempre positivas)

Geodesia & Aplicações – Aula 5

FCUL-EG

# Ajustamento de Redes

## 5.1.1 Projecção Cartográfica

### c) Sistemas de Projecção Cartográfica Nacionais

#### **Sistema UTM** – Continente - Fuso 29

*Datum* Hayford-Postdam = **ED50**

Projecção Mercator Transversa Universal (com origem no meridiano central do Fuso 29)

Origem do referencial plano: intersecção do meridiano central ( $9^{\circ}$  WGr) com o Equador;

Origem (fictícia) das coordenadas planas: resulta de uma translação E-W de 500 Km.

#### **Sistema UTM** – Açores e Madeira - Fusos 25, 26, 28

**Data locais** (Porto Santo, Ocidental, Central e Oriental),

Projecção Mercator Transversa Universal (com origem no meridiano central do respectivo Fuso)

Origem do referencial plano: intersecção do meridiano central ( $33^{\circ}$ ;  $27^{\circ}$ ;  $15^{\circ}$  WGr) com o Equador;

Origem (fictícia) das coordenadas planas: resulta de uma translação E-W de 500 Km.

# Ajustamento de Redes

## 5.1.1 Projecção Cartográfica

### c) Sistemas de Projecção Cartográfica Nacionais

#### **Hayford-Gauss**

*Datum* geodésico Hayford-Melriça = **Datum 73**

Projecção de Gauss-Kruger (versão elipsoidal da Projecção de Mercator

Transversa) com origem no (meridiano do) Ponto Central ( $\varphi=39^{\circ} 40'$ ;  $\lambda=-8^{\circ} 7' 54.862''$ )

Origem das coordenadas planas: Ponto Central ( $\Delta M= 180.598m$  ;  $\Delta P= -86.99m$ )

#### **PT-TM06**

*Datum* geodésico = **ETRS89**

Projecção de Gauss-Kruger (versão elipsoidal da Projecção de Mercator

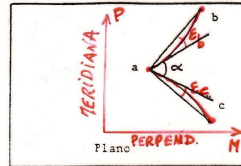
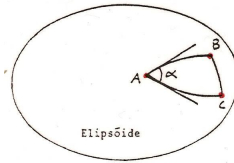
Transversa) com origem no (meridiano do) Ponto Central ( $\varphi=39^{\circ} 40' 5.73''$ ;  $\lambda=-8^{\circ} 7' 59.19''$ )

Origem das coordenadas planas: Ponto Central ( $\Delta M= 0$  ;  $\Delta P= 0$ )

# Ajustamento de Redes

## 5.1.2 Correções de redução ao plano cartográfico

### a) Correção tangente-corda – Projecção de Gauss



$$\epsilon_{red} = \frac{1}{6R_m^2} (2M_e + M_v) (P_e - P_v) \left\{ 1 - \frac{(2M_e + M_v)^2}{27R_m^2} \right\}$$

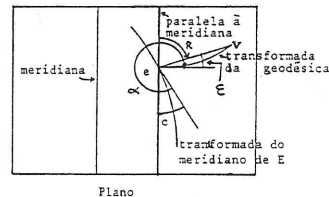
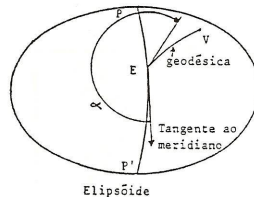
com  $R_m^2 = k_0^2 N_m \rho_m$  calculado na latitude média  $\varphi_m = \frac{1}{2}(\varphi_e + \varphi_v)$

Fórmula aproximada  $\epsilon'' = 84606 \cdot 10^{-14} (2M_e + M_v) (P_e - P_v)$

# Ajustamento de Redes

## 5.1.2 Correções de redução ao plano cartográfico

### b) Convergência de meridianos – Projecção de Gauss



$$c = (\lambda_e - \lambda_0) \cdot \sin \varphi_e$$

- correção aos azimutes:  $R_{ev} = \alpha_{ev} - c + \epsilon (\pm 180^\circ)$

## Ajustamento de Redes

### 5.1.2 Correções de redução ao plano cartográfico

c) Factor de escala – Projecção de Gauss

$$k = \frac{\text{comprimento} - \text{no} - \text{plano} - \text{cartográfico}}{\text{comprimento} - \text{no} - \text{elipsóide}}$$

$$k = k_0 \left\{ 1 + \frac{M_\mu^2}{6R_m^2} \left( 1 + \frac{M_\mu^2}{36R_m^2} \right) \right\}$$

$$\text{onde } M_\mu^2 = M_e^2 + M_e M_v + M_v^2$$

## Ajustamento de Redes

### 5.1.2 Correções de redução ao plano cartográfico

c) Factor de escala – Projecção de Gauss

- correcção aos comprimentos:  $c_k = k \cdot D_E - D_E = (k-1) \cdot D_E$

- Para uma projecção tangente ( $k_0=1$ ) e latitude do ponto central

$\varphi=39^\circ 40'$ , tem-se uma correcção aproximada de

$$c_d = \frac{M_\mu^2}{6R_m^2} \cdot D_E = 41018 \cdot 10^{-19} \cdot (M_e^2 + M_e M_v + M_v^2) \cdot D_E$$

# Ajustamento de Redes

## 5.1.3 Equações de observação

a) As equações de observação (do sistema linear) no processo de ajustamento resultarão de fórmulas diferenciais no plano cartográfico das relações

- de rumo: 
$$R_{ev} = \arctg \frac{M_v - M_e}{P_v - P_e}$$

- e de comprimento 
$$D_{ev} = \sqrt{(M_v - M_e)^2 + (P_v - P_e)^2}$$

b) A sua simples geometria permite trabalhar com fórmula mais simples, quando comparada com a geometria do elipsóide

# Ajustamento de Redes

## 5.1.3 Equações de observação

c) Para definir a relação de equação linear de observação

$$\left. \frac{\partial f}{\partial x} \right|_{x_0} \cdot \delta + f(x_0) - l_0 = v$$

que se pode escrever na forma

$$A \cdot \delta = l_0 - f(x_0) + v$$

$$\boxed{\text{corr.dif.linear} = \text{observ.} - \text{"observ.calc."} + \text{resíduo}}$$

necessitamos de determinar a correcção diferencial linear ( $df=A \cdot \delta$ ) para cada relação de observação (directão azimutal, rumo e distância);

# Ajustamento de Redes

## 5.1.3 Equações de observação

d) Assim, temos para o rumo:

$$dR_{ev} = -\frac{\cos R_{ev}^0}{D_{ev}^0} dM_e + \frac{\sin R_{ev}^0}{D_{ev}^0} dP_e - \frac{\cos R_{ve}^0}{D_{ev}^0} dM_v + \frac{\sin R_{ve}^0}{D_{ev}^0} dP_v$$

e para as distâncias

$$dD_{ev} = -\sin R_{ev}^0 dM_e - \cos R_{ev}^0 dP_e - \sin R_{ve}^0 dM_v + \cos R_{ve}^0 dP_v$$

$$\text{onde } R_{ev}^0 = \arctg\left(\frac{M_v^0 - M_e^0}{P_v^0 - P_e^0}\right) \quad \text{e} \quad D_{ev}^0 = \sqrt{(M_v^0 - M_e^0)^2 + (P_v^0 - P_e^0)^2}$$

# Ajustamento de Redes

## 5.1.3 Equações de observação

$$\text{corr.dif.linear} = \text{observ.} - \text{"observ.calc."} + \text{resíduo}$$

e) Equação de rumo

$$-\frac{\cos R_{ev}^0}{D_{ev}^0} dM_e + \frac{\sin R_{ev}^0}{D_{ev}^0} dP_e - \frac{\cos R_{ve}^0}{D_{ev}^0} dM_v + \frac{\sin R_{ve}^0}{D_{ev}^0} dP_v = R_{obs} - R_{ev}^0 + v_R$$

f) Equação de direcção azimutal

$$-\frac{\cos R_{ev}^0}{D_{ev}^0} dM_e + \frac{\sin R_{ev}^0}{D_{ev}^0} dP_e - \frac{\cos R_{ve}^0}{D_{ev}^0} dM_v + \frac{\sin R_{ve}^0}{D_{ev}^0} dP_v - dR_{\theta}|_e = dAz_{obs} - (R_{ev}^0 - (R_{\theta})_E^0) + v_{dz}$$

g) Equação de distância

$$-\sin R_{ev}^0 dM_e - \cos R_{ev}^0 dP_e - \sin R_{ve}^0 dM_v + \cos R_{ve}^0 dP_v = D_{obs} - D_{ev}^0 + v_D$$

# Ajustamento de Redes

## 5.2 Ajustamento sobre o Elipsóide

a) Para estabelecer o processo de **ajustamento sobre o elipsóide** de referência vamos assumir **três tipos de observações**, azimute, direcção azimutal e comprimento devidamente reduzidos;

b) Comparando com as observações do ajustamento sobre o plano cartográfico, só não são aplicadas as correcções de redução cartográfica (tangente-corda, convergência de meridianos e factor de escala), todas as restantes correcções são aplicadas;

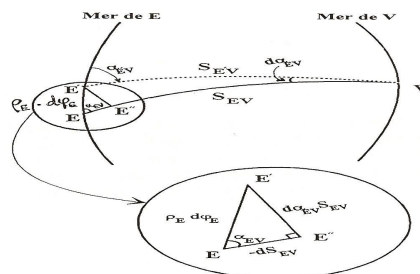
c) Como parâmetros principais temos as correcções às latitudes ( $d\phi_i$ ) e às longitudes ( $d\lambda_i$ ) dos pontos considerados livres, definidas no sistema linear;

$$df = A \cdot \delta = l_0 - f(x_0) + v$$

# Ajustamento de Redes

## 5.2 Ajustamento sobre o Elipsóide

d) As fórmula diferenciais das três equações de observação derivam da determinação de pequenas variações sobre o meridiano ( $d\phi$ ) e sobre o paralelo ( $d\lambda$ ) no extremo do arco da geodésica;





# Ajustamento de Redes

## 5.2.1 Equações sobre o Elipsóide

a) Equação de observação de Azimute

$$\begin{aligned}
 A \cdot \delta &= l_0 - f(x_0) + v \\
 \downarrow \\
 d\alpha &= \alpha_{obs} - \alpha_{calc} + v_\alpha \\
 \downarrow \\
 \frac{\rho_E \sin \alpha_{EV}}{S_{EV}} d\varphi_E - \frac{N_E \cos \varphi_E \cos \alpha_{EV}}{S_{EV}} d\lambda_E + \frac{\rho_V \sin \alpha_{VE}}{S_{EV}} d\varphi_V - \frac{N_V \cos \varphi_V \cos \alpha_{VE}}{S_{EV}} d\lambda_V \\
 &= [\alpha_{astro_{EV}} - (\lambda_E - \bar{\lambda}_E) \sin \varphi_E] - \alpha_{calc_{EV}} + v_\alpha
 \end{aligned}$$

**Nota:** todas as grandezas angulares devem ser calculadas nas mesmas unidades (graus ou radianos).

# Ajustamento de Redes

## 5.2.1 Equações sobre o Elipsóide

b) Equação de observação de Direcção Azimutal

$$\begin{aligned}
 A \cdot \delta &= l_0 - f(x_0) + v \\
 \downarrow \\
 -d\alpha_0 + dd_{az} &= d_{az} - [\alpha_{calc} - \alpha_0] + v_{d_{az}} \\
 \downarrow \\
 -d\alpha_0 + \frac{\rho_E \sin \alpha_{EV}}{S_{EV}} d\varphi_E - \left( \sin \varphi_E - \frac{N_E \cos \varphi_E \cos \alpha_{EV}}{S_{EV}} \right) d\lambda_E + \frac{\rho_V \sin \alpha_{VE}}{S_{EV}} d\varphi_V - \frac{N_V \cos \varphi_V \cos \alpha_{VE}}{S_{EV}} d\lambda_V \\
 &= d_{az} - [\alpha_{calc} - (\bar{\alpha}_0)_E] + v_{d_{az}}
 \end{aligned}$$

# Ajustamento de Redes

## 5.2.1 Equações sobre o Elipsóide

c) Equação de observação de Comprimento

$$A \cdot \delta = l_0 - f(x_0) + v$$

$$ds = s_{obs} - s_{calc} + v_s$$



$$-\frac{\rho_E \sin \alpha_{EV}}{206265''} d\varphi_E - \frac{N_E \cos \varphi_E \sin \alpha_{EV}}{206265''} d\lambda_E + \frac{\rho_V \cos \alpha_{VE}}{206265''} d\varphi_V - \frac{N_V \cos \varphi_V \sin \alpha_{VE}}{206265''} d\lambda_V$$

$$= s_{red_{EV}} - s_{calc_{EV}} + v_s$$

**Nota:** As correcções às coordenadas ( $d\varphi$ ,  $d\lambda$ ) estão expressos em “.

# Ajustamento de Redes

## 5.2.2 Processo de ajustamento sobre o elipsóide

- O cálculo dos valores aproximados de azimutes, comprimentos e coordenadas geodésicas necessita da aplicação dos problemas directo e inverso da geodesia através dos desenvolvimentos de Legendre-Delambre;
- Este facto torna o processo de ajustamento sobre o elipsóide mais complexo e moroso do que sobre o plano cartográfico;
- Ao exprimir-se as correcções das coordenadas em segundos de arco (“), obtém-se um sistema de equações numericamente mais estável;

# Ajustamento de Redes

## 5.2.2 Processo de ajustamento sobre o elipsóide

d) O formulário do modelo matemático dos m.m.q. deduzido é aplicado da mesma forma que o caso anterior, incluindo a estimativa a priori das precisões;

e) A excepção dá-se no caso do tratamento dos elementos da matriz de covariâncias das coordenadas geodésicas, que vêm expressos ( $''$ )<sup>2</sup>, para a determinação das elipses de erro, onde é necessário fazer uma conversão:

$$\text{com } J = \begin{bmatrix} 0 & \frac{N_j \cos \varphi_j}{206265''} \\ \frac{p_j}{206265''} & 0 \end{bmatrix} \quad \hat{C}_j = \begin{bmatrix} \hat{\sigma}_{dM_j}^2 & \hat{\sigma}_{dM_j dP_j} \\ \hat{\sigma}_{dM_j dP_j} & \hat{\sigma}_{dP_j}^2 \end{bmatrix} = J \cdot \hat{C}_{d\varphi_j d\lambda_j} \cdot J^T$$

# Ajustamento de Redes

## 5.3 Técnicas de resolução do sistema

a) O sistema de equações normais é, então, o sistema tornado possível e determinado ( $n \times n$ ) ao qual têm de ser aplicadas uma das técnicas de resolução;

b) Basicamente, existem duas técnicas de resolução de sistemas de equações: 1 - o método da condensação da matriz e consequente resolução regressiva, e 2 - o método de inversão da matriz;

c) A opção no passado era óbvia, dada as restrições computacionais de memória e velocidade de processamento, escolhia-se o método da condensação;

d) Actualmente, salvo raras excepções, é perfeitamente praticável o método de inversão, dada a grande capacidade computacional;

# Ajustamento de Redes

## 5.3.1 Técnicas de resolução do sistema

- e) Em termos de métodos de triangularização da matriz de coeficientes existem dois métodos, os **métodos de substituição-eliminação** Cholesky (semelhante ao de Doolittle) e o de Gauss;
- f) O Método de Cholesky usa como **elemento de redução a raiz quadrada dos elementos** da diagonal;
- g) O Método de Gauss usa como **elemento de redução o inverso dos elementos** da diagonal;
- h) O método de Cholesky e a Regra de Schreiber de eliminação de parâmetros inúteis são os métodos mais comuns usados no ajustamento de redes de geodesia, e são os métodos usados no nosso cálculo computacional;

# Ajustamento de Redes

## 5.3.1 Técnicas de resolução do sistema

f) Método de Cholesky

$$\begin{array}{c}
 \left[ \begin{array}{ccc|c} a_{11} & a_{12} & a_{13} & b_1 \\ a_{21} & a_{22} & a_{23} & b_2 \\ a_{31} & a_{32} & a_{33} & b_3 \end{array} \right] \xrightarrow{\text{Cholesky}} \left[ \begin{array}{ccc|c} \sqrt{a_{11}} & \frac{a_{12}}{\sqrt{a_{11}}} & \frac{a_{13}}{\sqrt{a_{11}}} & \frac{b_1}{\sqrt{a_{11}}} \\ a_{21} & a_{22} & a_{23} & b_2 \\ a_{31} & a_{32} & a_{33} & b_3 \end{array} \right] \xrightarrow{2^a - 1^a} \left[ \begin{array}{ccc|c} \sqrt{a_{11}} & \frac{a_{12}}{\sqrt{a_{11}}} & \frac{a_{13}}{\sqrt{a_{11}}} & \frac{b_1}{\sqrt{a_{11}}} \\ 0 & a_{22} - \frac{a_{21}a_{12}}{a_{11}} & a_{23} - \frac{a_{21}a_{13}}{a_{11}} & b_1 - \frac{a_{21}b_1}{a_{11}} \\ a_{31} & a_{32} & a_{33} & b_3 \end{array} \right] \xrightarrow{3^a - 1^a} \left[ \begin{array}{ccc|c} \sqrt{a_{11}} & \frac{a_{12}}{\sqrt{a_{11}}} & \frac{a_{13}}{\sqrt{a_{11}}} & \frac{b_1}{\sqrt{a_{11}}} \\ 0 & a_{22} - \frac{a_{21}a_{12}}{a_{11}} & a_{23} - \frac{a_{21}a_{13}}{a_{11}} & b_2 - \frac{a_{21}b_1}{a_{11}} \\ 0 & a_{32} - \frac{a_{31}a_{12}}{a_{11}} & a_{33} - \frac{a_{31}a_{13}}{a_{11}} & b_3 - \frac{a_{31}b_1}{a_{11}} \end{array} \right]
 \end{array}$$

## Ajustamento de Redes

### 5.3.1 Técnicas de resolução do sistema

g) Resolução regressiva

$$\begin{bmatrix} a_{11} & a_{12} & a_{13} \\ 0 & a_{22} & a_{23} \\ 0 & 0 & a_{33} \end{bmatrix} \begin{bmatrix} x_1 \\ x_2 \\ x_3 \end{bmatrix} = \begin{bmatrix} b_1 \\ b_2 \\ b_3 \end{bmatrix}$$

$$x_3 = \frac{b_3}{a_{33}}$$

$$x_2 = \frac{(b_2 - a_{23}x_3)}{a_{22}}$$

$$x_1 = \frac{(b_1 - a_{12}x_2 - a_{13}x_3)}{a_{11}}$$

## Ajustamento de Redes

### 5.3.2 Eliminação de parâmetros inúteis

- a) Nas redes geodésicas de triangulação, onde são observadas direcções desorientadas pelo método dos giros do horizonte, é introduzida uma incógnita, o **rumo de orientação** do giro,  $R_0$ , que é um **parâmetro inútil**;
- b) Não sendo necessário, ele pode ser eliminado, pois apenas ocupa memória e sobrecarrega o sistema de cálculo;
- c) A **eliminação** tem de ser feita com alguma regra, ou seja, tem que **gerar um sistema modificado equivalente**, sem alterar a solução dos parâmetros úteis;
- d) A regra de Schreiber elimina todos os rumos de orientação dos giros (tantos quanto as estações), sem alterar a solução;

## Ajustamento de Redes

### 5.3.2 Eliminação de parâmetros inúteis

e) Regra de Scheiber

Equações	Pesos		Equações truncadas	Pesos
$x + b_1y + c_1z = l_1 + v$	1			
$x + b_1y + c_1z = l_1 + v$	1			
...	...		$b_1y + c_1z = l_1 + \bar{v}$	1
$x + b_1y + c_1z = l_1 + v$	1		$b_1y + c_1z = l_1 + \bar{v}$	1
			...	...
			$b_1y + c_1z = l_1 + \bar{v}$	1
			$[b]y + [c]z = [l] + [\bar{v}]$	$-\frac{1}{n}$

Por cada giro acrescenta-se  
uma equação soma – **equação de Schreiber**.

Geodesia & Aplicações – Aula 5

FCUL-EG

## Ajustamento de Redes

### 5.3.2 Falso resíduos e recuperação dos parâmetros

a) O sistema truncado, resultante da aplicação desta regra, tem um sistema de equações normais coincidente com o subsistema de equações normais do sistema original;

b) Os resíduos resultantes do sistema de equações truncadas são falsos resíduos; para determinar os resíduos verdadeiros temos que, implicitamente, recuperar o parâmetro eliminado;

d) Tomando a equação genérica  $a_i\hat{M} + b_i\hat{P} - l_i = v_i - \hat{R}_0$

e somando em ordem a  $i$   $\sum \bar{v}_i = \sum v_i - n\hat{R}_0$

resulta  $\hat{R}_0 = -\frac{\sum \bar{v}_i}{n} + \frac{\sum v_i}{n} = -\frac{\sum \bar{v}_i}{n}$

e) Daqui saem os resíduos verdadeiro

Geodesia & Aplicações – Aula 5

FCUL-EG

# Ajustamento de Redes

## 5.3.3 Resolução de sistemas por blocos

a) Na disciplina TAD, este problema de parâmetros inúteis é resolvido subdividindo-se o sistema de equações em blocos de parâmetros resolvendo-o por partes

$$A_1 \cdot \hat{\delta}_1 + A_2 \cdot \hat{\delta}_2 - v + w = 0$$

b) Aplicando o m.m.q. a este sistema obtém-se o seguinte sistema de equações normais

$$\begin{pmatrix} A_1^T P_1 A_1 & A_1^T P_1 A_2 \\ A_2^T P_1 A_1 & A_2^T P_1 A_2 \end{pmatrix} \cdot \begin{pmatrix} \hat{\delta}_1 \\ \hat{\delta}_2 \end{pmatrix} = - \begin{pmatrix} A_1^T P_1 w \\ A_2^T P_1 w \end{pmatrix}$$

c) Este sistema pode ser resolvido apenas em ordem a  $\delta_2$ , eliminando o parâmetro  $\delta_1$ ;